

ROBUSTNÍ ARCHITEKTURA VÍCEVRSTVÝCH NEURONOVÝCH SÍTÍ

ZUZANA PETŘÍČKOVÁ

reitezuz@fjfi.cvut.cz

Katedra softwarového inženýrství,
Fakulta jaderná a fyzikálně inženýrská,
ČVUT v Praze

Na základě dizertační práce: Umělé neuronové sítě a jejich využití při extrakci znalostí
Školitel: doc. RNDr. Iveta Mrázová, CSc.
Školící pracoviště: Katedra teoretické informatiky a matematické logiky MFF UK.
Obhájeno: 22. září 2015.

Seminář strojového učení a modelování, 24.listopadu 2016 v Praze

Obsah prezentace

1 Úvod

- Motivace
- Vrstevnaté neuronové sítě
- Optimalizace struktury

2 Navržený framework

- Rychlá extrakce znalostí (SCGIR)
- Zjednodušení vnitřní struktury BP-sítě (SCGS)
- Rychlé učení s vytvořením jednodušší a jasnější vnitřní struktury sítě (SCGSA)

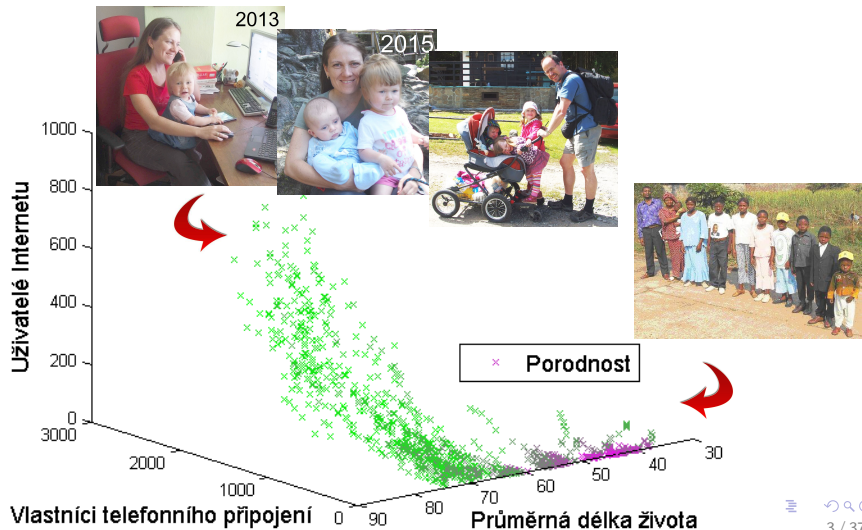
3 Experimenty

- Rychlosť učení a schopnosť zobecňovať
- Stabilita metod
- Vytvoření jednoduché a transparentní struktury během učení
- Citlivostní analýza

4 Závěr

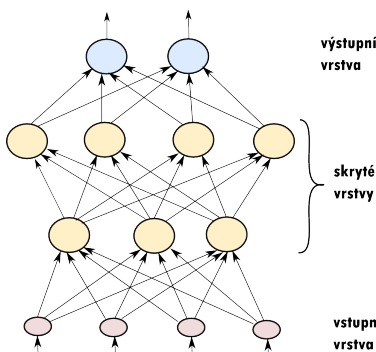
Motivace: Data ze Světové Banky

- Indikátory světového vývoje, 162 zemí, 2001-2006, 956 příkladů



Vrstevnaté neuronové sítě typu zpětného šíření (BP-sítě)

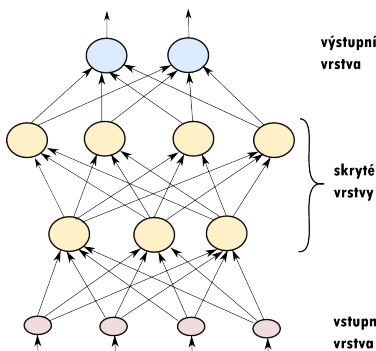
- Klasický výpočetní model
(*Werbos, 1975*), (*Parker, 1985*),
(*LeCun, 1985*), (*Rumelhart, 1986*).



- Gradientní metody učení
(např. back-propagation):
 - Učení na základě množiny trénovacích příkladů.
 - Adaptace vah a prahů
 - proti směru gradientu chybové funkce.
 - zpětně: směrem od výstupní vrstvy ke vstupní.

Vrstevnaté neuronové sítě typu zpětného šíření (BP-sítě)

- Klasický výpočetní model
(*Werbos, 1975*), (*Parker, 1985*),
(*LeCun, 1985*), (*Rumelhart, 1986*).

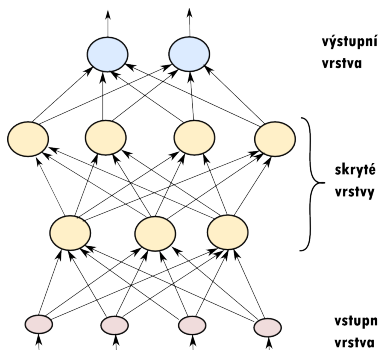


Hlavní klady

- Jednoduchý, výpočetně poměrně nenáročný model.
- Jsou schopné dobře approximovat neznámou funkci.
- Dobře zobecňují.
- Zdroj poznatků pro složitější modely neuronových sítí - např. hluboké neuronové sítě (*LeCun, 1998*), (*Hinton, 2009*), rekurentní modely.

Vrstevnaté neuronové sítě typu zpětného šíření (BP-sítě)

- Klasický výpočetní model
(*Werbos, 1975*), (*Parker, 1985*),
(*LeCun, 1985*), (*Rumelhart, 1986*).



Hlavní nevýhody:

- Učení je poměrně pomalé.
- Nebezpečí přeúčení.
- Mají tendenci vytvářet složitou a netransparentní vnitřní strukturu.
- Vysoká citlivost k volbě parametrů (architektura, algoritmus učení, trénovací data,...)

Optimalizace architektury a detekce důležitých vstupních příznaků

- Často řešeno odděleně – odlišná motivace.

Proč hledat důležité vstupní příznaky?

- Součást předzpracování dat.
- Efektivnější výpočet modelu.
- Zvýšení přesnosti modelu např. v případě nedostatku trénovacích dat.
- Porozumění datům.

→ BP-sítě umožňují řešit obě úlohy zároveň.

Proč optimalizovat architekturu?

- Součást algoritmu učení.
- Lepší predikce a zobecňování.
- Jednodušší a transparentnější struktura modelu.
- Porozumění tomu, jak model počítá.

Optimalizace architektury a detekce důležitých vstupních příznaků

Jak optimalizovat strukturu BP-sítě?

- Metody hrubé síly
 - Vyzkoušet různé architektury a vybrat tu s nejmenší chybou po naučení.
 - **Nevýhody:** Časová náročnost, obtížné učení a stabilita minimálního modelu, citlivost k lokálním minimum chybové funkce.
- **Prořezávání**
- **Regularizace**
- Konstrukční metody
- Pravděpodobnostně-optimalizační metody (genetické algoritmy, simulované žíhání,...)
- ...

Optimalizace architektury a detekce důležitých vstupních příznaků

Prořezávání - základní algoritmus:

- ① Nauč BP-sítě s dostatečně velkou počáteční topologií.
- ② Dokud je chyba sítě větší určená mez nebo dokud klesá:
 - ① Spočítej relevanci skrytých neuronů nebo hran.
 - ② Odstraň z BP-sítě nejméně relevantní část(i).
 - ③ Přeuc model.

Otzázkы:

- Jak vyhodnotit důležitost jednotlivých neuronů/hran → **míra relevance**.
- Jak rozpoznat, které části sítě prořezat → **heuristiky**.

Optimalizace architektury a detekce důležitých vstupních příznaků

Regularizační techniky

- Přidávají k chybové funkci další členy:

$$E = c_{mse} E_{mse} + c_F F + c_G G + \dots$$

Weight decay (Werbos, 1988)

- Jednoduchý penalizační člen: $E = E_{mse} + \beta \sum_i w_i^2$
- Vynucuje snížení absolutní hodnoty všech vah.
- Cíle:
 - Usnadnit odstranění hran s "malými" vahami.
 - Zlepšit schopnost modelu zobecňovat.

-
- E ... chybová funkce,
 - E_{mse} ... střední kvadratická odchylka mezi skutečným a požadovaným výstupem,
 - i ... index přes všechny vahy w v BP-sítí,
 - $0 < \beta \ll 1$... konstantní parametr.

Cíle mé dizertační práce

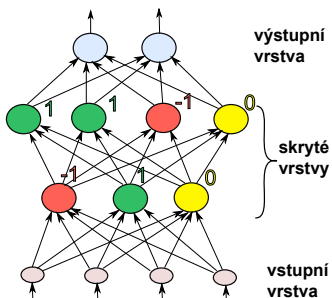
Vytvořit obecný framework pro učení BP-sítí s důrazem na:

- ① Rychlou extrakci znalostí (**SCGIR**).
- ② Zjednodušení vnitřní struktury BP-sítě (**SCGS**).
- ③ Oba předchozí cíle zároveň (**SCGSA**).
(Rychlé učení s vytvořením jednodušší a jasnější vnitřní struktury sítě)

I. Rychlá extrakce znalostí (SCGIR)

Učící algoritmus by měl:

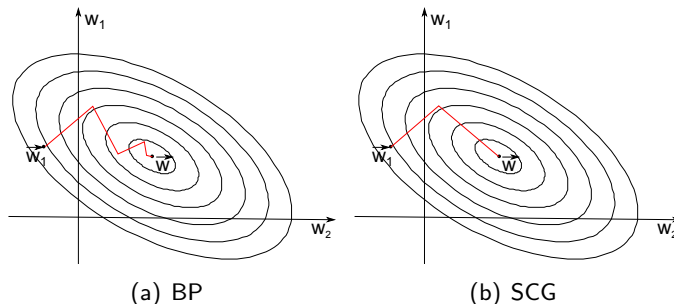
- **Být rychlý a robustní k volbě parametrů**
→ **Metoda škálovaných konjugovaných gradientů (SCG)**



- Vytvořit **transparentní strukturu sítě** a umožnit tak **jednoduchou interpretaci** získaných znalostí
→ **Metoda vynucované kondenzované interní reprezentace (IR)**
- Vytvořit jednoduchý model, který dobře **zobecňuje**
→ **Učení s nápovědou**
→ **Prořezávání**

I. Rychlá extrakce znalostí (SCGIR)

Metoda škálovaných konjugovaných gradientů
(Moller, 1993)



Velmi rychlý a robustní algoritmus, s malým počtem volitelných parametrů.

I. Rychlá extrakce znalostí (SCGIR)

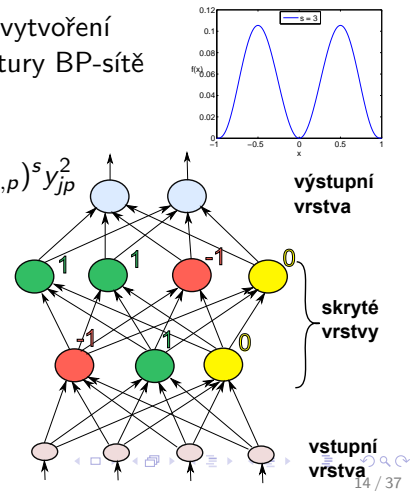
Metoda vynucované kondenzované interní reprezentace (IR)

(Mrázová, Wang, 2007)

- **Regularizační technika** - vynucuje vytvoření transparentní a stabilní vnitřní struktury BP-sítě
- Chybová funkce: $E = E_{mse} + c_F F$

$$F = \sum_p \sum_j (1 + y_{j,p})^s (1 - y_{j,p})^s y_{jp}^2$$

- Aktivity skrytých neuronů blízké hodnotám:
 - -1 ... NE
 - 1 ... ANO
 - 0 ... NEVÍM (bez odpovědi)
- Usnadňuje prořezání nadbytečných skrytých neuronů.

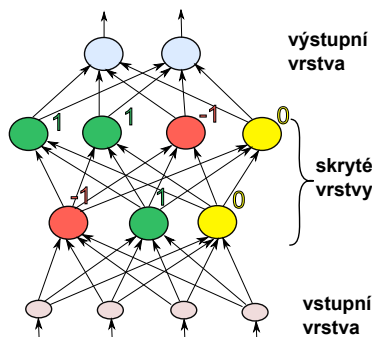


I. Rychlá extrakce znalostí (SCGIR)

Prořezávání skrytých neuronů založené na interní reprezentaci

(Sietsma, Dow, 1991)

- 1 Naučení modelu
 - 2 Nalezení a odstranění / sloučení skrytých neuronů s:
 - uniformní reprezentací
 - navzájem identickou reprezentací
 - navzájem inverzní reprezentací
 - 3 Přepočtení vah (doučení není třeba)



II. Zjednodušení vnitřní struktury BP-sítě (SCGS)

Citlivostní koeficienty jako míra relevance:

- $S_{uv,p}$... jak velký má malá změna u -tého vstupu sítě vliv na v -tý výstup:

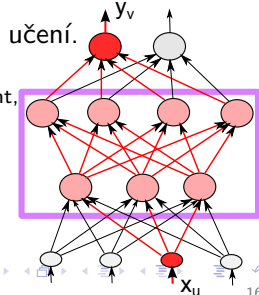
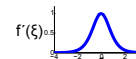
$$S_{uv,p} = \frac{\partial y_{v,p}}{\partial x_{u,p}} = \sum_k S_{kv,p} S_{uk,p} = \sum_k f'(\xi_{v,p_j}) w_{kv} S_{uk,p}$$

Použití

- Identifikace a prořezání nadbytečných vstupních a skrytých neuronů.
- Oslabování celkové citlivosti sítě v průběhu učení.

-
- u ... vstupy sítě,
 - v ... výstupy sítě,
 - k ... neurony v poslední skryté vrstvě,
 - x ... aktuální vstup,
 - y ... aktuální výstup,
 - p ... trénovací příklady,

- $S_{uv,p}$... citlivostní koeficient,
- w_{kv} ... váha z k do v ,
- $S_{kv,p} = f'(\xi_{v,p_j}) w_{kv}$
- $f'(\xi_{v,p})$... derivace přenosové funkce



II. Zjednodušení vnitřní struktury BP-sítě (SCGS)

Strategie prořezávání

Iterativní opakování následujících kroků:

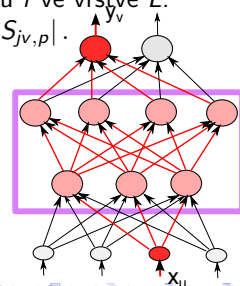
- ① Učení (doučení) modelu
 - ② Prořezávání

- Prořezání skrytých neuronů založené na interní reprezentaci.
 - Prořezání vstupních a skrytých neuronů na základě spočtených citlivostních koeficientů.

Heuristické pravidlo pro prořezání neuronu i ve vrstvě L

$$\max_p \text{mean}_v |S_{iv,p}| < \delta_L = \beta \text{mean}_{\{v,i,p\}} |S_{iv,p}|$$

- v ... výstupy sítě,
 - j ... neurony ve vrstvě L ,
 - p ... trénovací příklady,
 - $S_{iv,p} = \frac{\partial y_{v,p}}{\partial y_{i,p}}$... cilivostní koeficient,
 - $y_{i,p}$... výstup neuronu i pro trénovací příklad p ,
 - $0 < \beta < 1$... konstantní parametr.



II. Zjednodušení vnitřní struktury BP-sítě (SCGS)

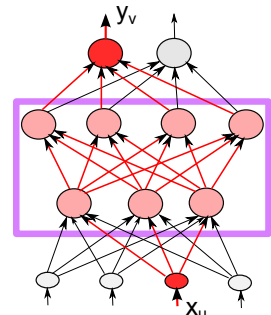
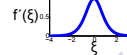
Analytická metoda pro snižování citlivosti sítě (SC)

- Snižování citlivosti výstupů sítě ke vstupům.
- Chybová funkce: $H = E_{mse} + c_G G$

$$G = \frac{1}{2} \sum_p \sum_u \sum_v S_{uv,p}^2, \quad S_{uv,p} = \frac{\partial y_{v,p}}{\partial x_{u,p}} = \sum_k f'(\xi_{v,p}) w_{kv} S_{uk,p}$$

- Minimalizace G v průběhu učení je **velmi výpočetně náročná**.

- u ... vstupy sítě,
- v ... výstupy sítě,
- k ... neurony v poslední skryté vrstvě,
- x ... aktuální vstup,
- y ... aktuální výstup,
- p ... trénovací příklady,
- $S_{uv,p}$... citlivostní koeficient,
- w_{kv} ... váha z k do v ,
- $f'(\xi_{v,p})$... derivace přenosové funkce



II. Zjednodušení vnitřní struktury BP-sítě (SCGS)

Kombinace následujících technik:

- + Metoda škálovaných konjugovaných gradientů (SCG)
- + Regularizace:
 - + Metoda vynucované kondenzované interní reprezentace (IR)
 - + **Analytická metoda pro snižování citlivosti sítě (SC)**
- + Prořezávání založené na:
 - + citlivostní analýze
 - + interní reprezentaci

-
- Chybová funkce $H = E_{mse} + c_F F + c_G G$
 - E_{mse} ... standarní chybová funkce (MSE),
 - F ... chybová funkce regulující interní reprezentaci,
 - G ... nově navržená chybová funkce pro snižování citlivosti,
 - c_F, c_G ... parametry regulující váhu E, F and G v H .

Aproximativní metoda pro snižování citlivosti sítě (SCA)

Alternativní vzorec pro citlivostní chybovou funkci

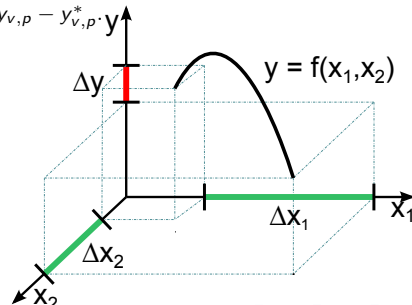
$$G = \frac{1}{2} \sum_p \sum_u \sum_v \left(\frac{\partial y_{v,p}}{\partial x_{u,p}} \right)^2 \rightarrow G_1 = \frac{1}{2} \sum_p \sum_u \sum_v \left(\frac{\Delta y_{v,p}}{\Delta x_{u,p}} \right)^2$$

- $x_{u,p}^*$... $x_{u,p}$ s přidaným 0.1-1% náhodným šumem
 - $y_{u,p}^*$... výstup sítě pro $x_{u,p}^*$,
 - $\Delta x_{u,p} = x_{u,p} - x_{u,p}^*$ a $\Delta y_{v,p} = y_{v,p} - y_{v,p}^*$.

Příklad:

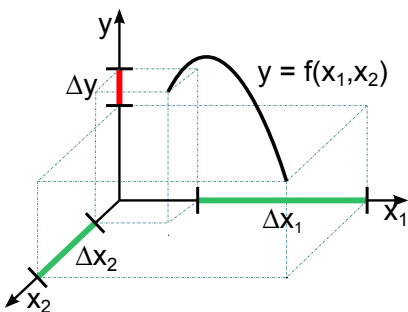
$$G_1 \approx \left(\frac{\Delta y}{\Delta x_1} \right)^2 + \left(\frac{\Delta y}{\Delta x_2} \right)^2 =$$

$$= \frac{(y - y^*)^2}{(x_1 - x_1^*)^2} + \frac{(y - y^*)^2}{(x_2 - x_2^*)^2}$$

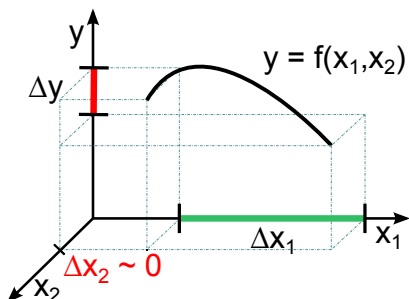


Aproximativní metoda pro snižování citlivosti sítě (SCA)

Příklad:



Problém:



$$G_1 \approx \left(\frac{\Delta y}{\Delta x_1} \right)^2 + \left(\frac{\Delta y}{\Delta x_2} \right)^2 = \frac{(y - y^*)^2}{(x_1 - x_1^*)^2} + \frac{(y - y^*)^2}{(x_2 - x_2^*)^2}$$

malá hodnota jmenovatele → velké problémy kvůli zaokrouhlení výsledku

Aproximativní metoda pro snižování citlivosti sítě (SCA)

Řešení: Alternativní vzorec pro citlivostní chybovou funkci

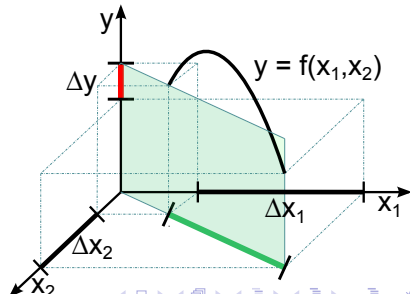
$$G_1 = \frac{1}{2} \sum_p \sum_u \sum_v \left(\frac{\Delta y_{v,p}}{\Delta x_{u,p}} \right)^2 \rightarrow G_2 = \frac{1}{2} \sum_p \frac{\sum_v \Delta^2 y_{v,p}}{\sum_u \Delta^2 x_{u,p}}$$

- $\Delta x_{u,p} = x_{u,p} - x_{u,p}^*$ a $\Delta y_{v,p} = y_{v,p} - y_{v,p}^*$.
 - $x_{u,p}^* \dots x_{u,p}$ s přidaným 0.1-1% náhodným šumem
 - $y_{u,p}^* \dots$ výstup sítě pro $x_{u,p}^*$,

Příklad:

$$G_2 \approx \frac{\Delta^2 y}{\Delta^2 x_1 + \Delta^2 x_2} =$$

$$= \frac{(y - y^*)^2}{(x_1 - x_1^*)^2 + (x_2 - x_2^*)^2}$$



Rychlé učení s vytvořením jednodušší a jasnější vnitřní struktury sítě (SCGSA)

Kombinace následujících technik:

- + Metoda škálovaných konjugovaných gradientů (SCG)
- + Regularizace:
 - + Metoda vynucované kondenzované interní reprezentace (IR)
 - + **Aproximativní metoda pro snižování citlivosti sítě (SCA)**
- + Prořezávání založené na:
 - + citlivostní analýze
 - + interní reprezentaci

-
- Chybová funkce $H = E_{mse} + c_F F + c_G G_1$
 - E_{mse} ... standarní chybová funkce (MSE),
 - F ... chybová funkce regulující interní reprezentaci,
 - G_1 ... nově navržená chybová funkce pro snižování citlivosti,
 - c_F, c_G ... parametry regulující váhu E, F and G_1 v H .

Experimenty

Testované vlastnosti:

- ① Schopnost zobecňovat
- ② Rychlosť učení
- ③ Stabilita metod
- ④ Vytvoření jednoduché a transparentní struktury modelu

Testovací data:

- **Diskrétní data** – Binární sčítání a násobení 3-bitových čísel
- **Spojité data** – Světová Banka (Indikátory světového vývoje)

-
- Ke každé datové sadě jsme přidali 10-12 irrelevantních (náhodně vygenerovaných) vstupních příznaků.
 - Testovány různé počáteční topologie BP-sítí s jednou či dvěma skrytými vrstvami.

Souhrnné výsledky experimentů

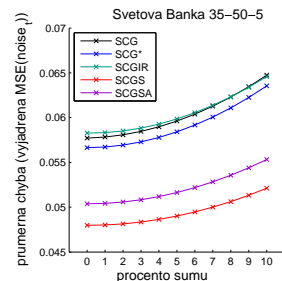
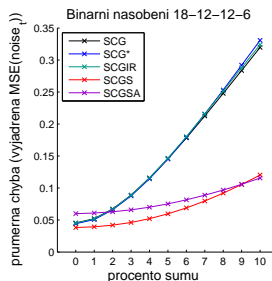
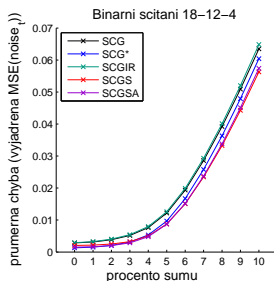
Metoda	Schopnost zobecňovat	Rychlosť	Robustnosť k parametrám	Transparentnosť	Struktúra
SCG	*** dobrá	***** rychlý	***** robustný	* není vynucovaná	*
SCGIR	*** srovnateľná s SCG	**** nejvýše dvakrát pomalejší než SCG	*** relativně citlivý k volbě c_F	***** silně vynucovaná pro větší hodnoty c_F	*** prořezávání skrytých neuronů
SCGS	***** lepší než SCG pro diskrétní data a více skrytých vrstev	*	***** robustný k volbě c_F a c_G	*** středně, ale stabilně vynucovaná	***** prořezávání skrytých a vstupních neuronů
SCGSA	***** lepší než SCG pro diskrétní data a více skrytých vrstev	**** nejvýše dvakrát pomalejší než SCG	***** robustný k volbě c_F a c_G	*** středně, ale stabilně vynucovaná	***** prořezávání skrytých a vstupních neuronů

Experimenty

Rychlosť učenia a schopnosť zobecňovať

Robustnosť k šumu v testovacích datech

- Průměrná chyba MSE na testovacích datech pro různé hodnoty šumu v datech:



- Přidání p -procentního šumu k testovacímu příkladu x_q :

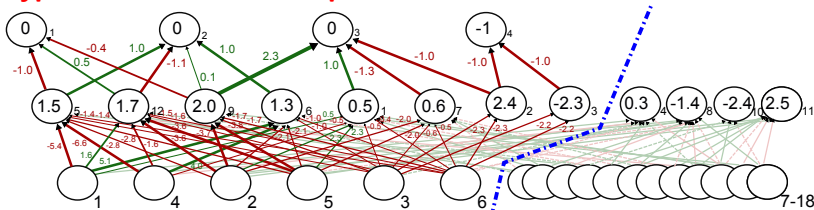
$$x_{i,q}^{noise} = x_{i,q}(1 + 0.01 p \operatorname{rand}(\{0, 1, -1\}))$$

Experimenty

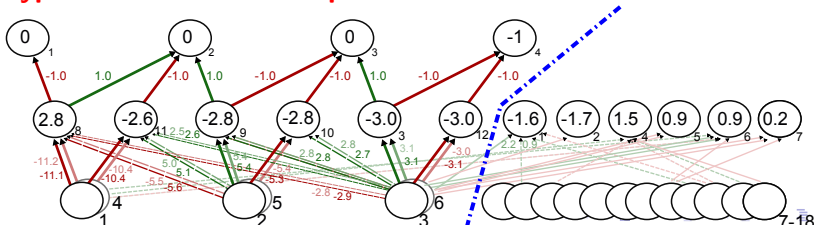
Vytvoření jednoduché a transparentní struktury během učení

Vytvoření jednoduché a transparentní struktury během učení – Binární sčítání

Typická BP-síť naučená pomocí SCG



Typická BP-síť naučená pomocí SCGSA

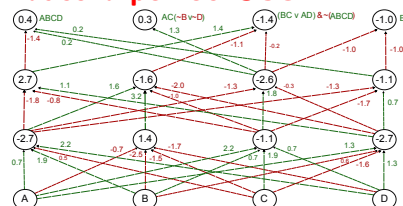


Experimenty

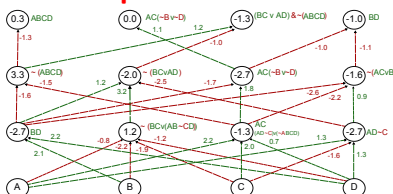
Vytvoření jednoduché a transparentní struktury během učení

Vytvoření jednoduché a transparentní struktury během učení – Binární násobení

Typická BP-síť naučená pomocí SCG



Typická BP-síť naučená pomocí SCGS



Experimenty

Vytvoření jednoduché a transparentní struktury během učení

Data ze Světové Banky - Indikátory světového vývoje

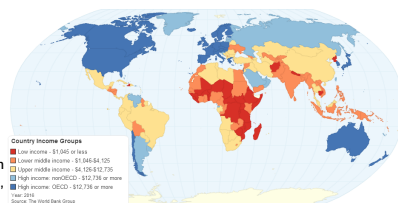
(25 indikátorů, 162 zemí, 2001-2006, 956 trénovacích vzorů)

Vstupní příznaky:

1	PPP konverzní faktor, místní měna vzhledem k mezinárodnímu \$	17	Růst HDP, ročně, %
2	Míra PPP konverzního faktoru vzhledem k oficiálnímu směnnému kurzu	18	Vývoz vyspělých technologií, % vývozu průmyslového zboží
3	Aktuální hodnota státního dluhu, % vývozu	19	Inflace, deflace HDP (ročně, %)
4	Krátkodobý dluh, % státního dluhu	20	Uživatelé internetu, na 1000 obyvatel
5	Krátkodobý dluh, % vývozu	21	Průměrná délka života, roky
6	Celkový státní dluh, % HNP	22	Výdaje na zbrojení, % HDP
7	Giniho koeficient	23	Počet obyvatel pod hranicí národní míry chudoby, % obyvatelstva
8	Příjem státního rozpočtu z daní, % HDP	24	Aktuální hodnota státního dluhu, % HNP
9	Daně z příjmu, zisku a investic, % příjmů	25	Celkový státní dluh, % vývozu
10	Daně ze zboží a služeb, % příjmů	26..35	Náhodně generované vstupní příznaky
11	Daně z mezinárodního obchodu, % příjmů		
12	Sociální příspěvky, % příjmů		
13	Výdaje na výzkum a školství, % HDP		
14	Deflace HDP, % růstu		
15	Porodnost, celkem (počet porodů na ženu)		
16	Vlastníci pevných a mobilních telefonů, na 1000 obyvatel		

Výstupní příznaky:

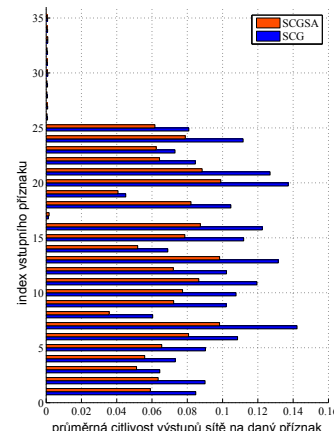
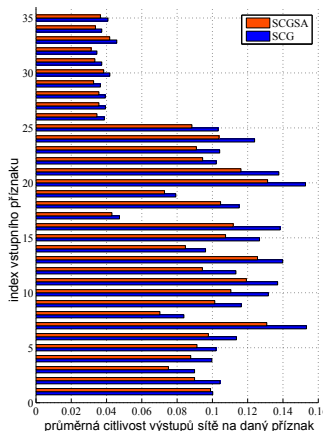
- 1..5 Příjmová skupina (Vysoký příjem & člen OECD, Vysoký příjem, Vyšší střední příjem, Nižší střední příjem, Nízký příjem)



Citlivostní analýza

Průměrná citlivost naučených BP-sítí

$S_u = \text{mean}_{\{v, p\}} |S_{uv, p}|$, průměr přes 100 různých inicializací
před prořezáním: **po prořezání:**

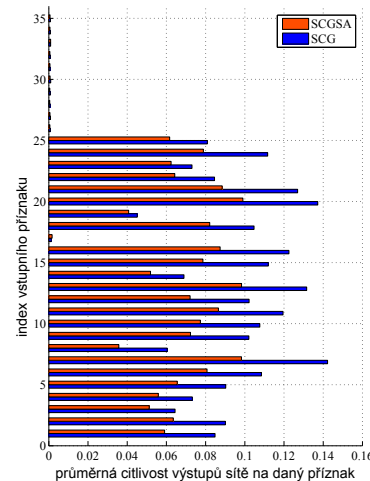


Citlivostní analýza

Pořadí nejdůležitějších
příznaků podle citlivostních
koeficientů:

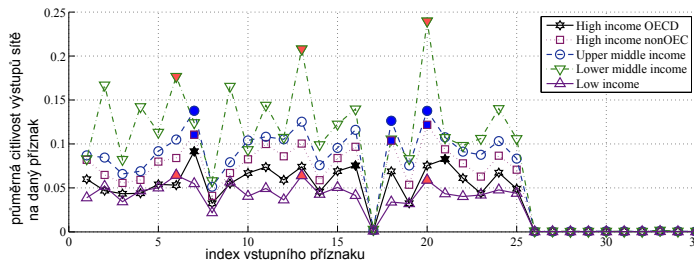
pořadí	SCG	SCGSA	význam (SCGSA)
1.	7	20	Uživatelé internetu
2.	20	7	Giniho koeficient
3.	13	13	Výdaje na výzkum a školství
4.	16	11	Daně z mezinárodního obchodu
5.	21	21	Průměrná délka života
6.	11	16	Vlastníci mobilních či pevných telefonů
7.	10	10	Daně ze zboží a služeb
8.	15	15	Porodnost
...	
23.	8	19	Inflace, deflace HDP
24.	19	8	Příjem rozpočtu z daní
25.	17	17	Růst HDP
26..35.	26..35	26..35	Náhodně generované příznaky

Průměrná citlivost naučených
BP-sítí po prořezání:



Citlivostní analýza

Průměrná citlivost pro jednotlivé příjmové skupiny (metoda SCGSA, po prořezání)



- | | | |
|--|---------------------------------|---------------------------------|
| 1. 7. Giniho koeficient | 7. Giniho koeficient | 20. Uživatelé internetu |
| 2. 21. Průměrná délka života | 20. Uživatelé internetu | 13. Výdaje na výzkum a školství |
| 3. 16. Vlastníci telefonního připojení | 18. Vývoz vyspělých technologií | 6. Celkový státní dluh |

Závěr

Navržený framework zlepšuje schopnost naučených BP/sítí:

- ① Dobře **zobecňovat**.
- ② **Rychle** vytvořit **jednoduší a transparentní strukturu** neuronové sítě.
- ③ Adekvátně **prořezat** vstupní i skryté neurony.
 - **Nižší citlivost** modelu k volbě parametrů a k šumu v datech.
 - Snadnější interpretace extrahovaných znalostí.
 - **Nejlepší výsledky** pro **diskrétní data** a pro sítě **s více skrytými vrstvami**.

Závěr

Děkuji Vám za pozornost.

Rychlosť učení a schopnosť zobecňovať

Binární sčítání – topologie 18-12-4

method	c_F	c_G	n_A	c_R	c_A	$MSE(noise_t)$	imp	sensitivity	epochs	time(s)
SCG	–	–	20	14	3	0.035 ± 0.028	1.0	0.09 ± 0.12	1413.7	5.9
SCG*	–	–	23	25	13	0.031 ± 0.035	1.1	0.09 ± 0.09	1312.9	7.1
SCGIR	10^{-6}	–	25	39	18	0.036 ± 0.036	1.0	0.08 ± 0.11	1429.2	11.2
SCGS	–	$5 \cdot 10^{-7}$	22	33	11	0.028 ± 0.022	1.3	0.07 ± 0.07	1636.3	420.5
SCGS	10^{-6}	$5 \cdot 10^{-7}$	21	39	11	0.027 ± 0.020	1.3	0.07 ± 0.06	1625.7	420.1
SCGSA	–	10^{-5}	22	29	12	0.028 ± 0.020	1.2	0.09 ± 0.09	1308.6	8.4
SCGSA	10^{-6}	10^{-5}	19	31	10	0.029 ± 0.022	1.2	0.08 ± 0.08	1378.3	13.5

Binární násobení – topologie 18-12-12-6

method	c_F	c_G	n_I	c	c_n	$MSE(noise_t)$	imp	sensitivity	epochs	time(s)
SCG	–	–	33	51	0	0.297 ± 0.189	1.0	0.28 ± 0.22	601.0	6.1
SCG*	–	–	38	49	0	0.300 ± 0.210	1.0	0.26 ± 0.22	601.0	10.4
SCGIR	10^{-6}	–	35	50	0	0.301 ± 0.191	1.0	0.28 ± 0.23	601.0	10.5
SCGS	–	$5 \cdot 10^{-7}$	34	55	11	0.098 ± 0.057	3.0	0.14 ± 0.09	601.0	3733.8
SCGS	10^{-6}	$5 \cdot 10^{-7}$	31	53	10	0.097 ± 0.060	3.0	0.14 ± 0.09	601.0	3620.7
SCGSA	–	$5 \cdot 10^{-5}$	30	38	19	0.085 ± 0.064	3.5	0.11 ± 0.06	601.0	8.3
SCGSA	10^{-6}	$5 \cdot 10^{-5}$	27	42	16	0.079 ± 0.053	3.8	0.10 ± 0.06	600.8	13.3

- Nejlepší výsledky pro binární násobení.
- Výrazné zvýšení schopnosti zobecňovať a snížení citlivosti k šumu v datech.
- Časová složitost SCGSA je srovnatelná s SCG.

Rychlosť učení a schopnosť zobecňovať

Světová banka – topologie 35-50-5

method	c_F	c_G	$MSE(\text{noise}_t)$	imp	sensitivity	epochs	time(s)
SCG	—	—	0.063 ± 0.017	1.00	0.09 ± 0.03	969.0	23.6
SCG*	—	—	0.062 ± 0.017	1.02	0.09 ± 0.03	974.5	32.0
SCGIR	10^{-6}	—	0.063 ± 0.017	1.00	0.09 ± 0.03	968.0	48.5
SCGS	—	10^{-5}	0.051 ± 0.016	1.23	0.05 ± 0.02	964.0	2036.0
SCGS	10^{-6}	10^{-5}	0.050 ± 0.016	1.25	0.05 ± 0.02	968.4	1984.2
SCGSA	—	$2 \cdot 10^{-4}$	0.054 ± 0.015	1.17	0.06 ± 0.03	978.2	35.2
SCGSA	10^{-6}	$2 \cdot 10^{-4}$	0.055 ± 0.017	1.14	0.06 ± 0.02	945.4	59.0

Světová banka – topologie 35-15-15-5

method	c_F	c_G	$MSE(\text{noise}_t)$	imp	sensitivity	epochs	time(s)
SCG	—	—	0.064 ± 0.038	1.00	0.05 ± 0.02	305.1	15.6
SCG*	—	—	0.057 ± 0.025	1.11	0.04 ± 0.02	305.9	18.5
SCGIR	10^{-6}	—	0.064 ± 0.037	0.99	0.05 ± 0.02	304.5	24.2
SCGS	—	10^{-5}	0.050 ± 0.021	1.26	0.03 ± 0.01	302.7	53188.0
SCGSA	—	10^{-4}	0.052 ± 0.022	1.23	0.04 ± 0.01	303.4	19.8
SCGSA	10^{-6}	10^{-4}	0.054 ± 0.025	1.19	0.04 ± 0.02	304.1	28.5

- Průměrná finální topologie byla **23-23-5** a **21-12-8-5**.
- Obdobné výsledky pro obě topologie.
- Výrazné zvýšení schopnosti zobecňovať a snížení citlivosti k šumu v datech.
- Časová složitost SCGSA je srovnatelná s SCG.

Robustnost metod k volbě parametrů c_F a c_G

Binární sčítání – topologie 18-12-4

method	c_F	c_G	n_I	c_R	$MSE(noise_t)$	imp	sensitivity	epochs	time(s)
SCGS	10^{-6}	$5 \cdot 10^{-7}$	87	39	0.027 ± 0.020	1.3	0.07 ± 0.06	1625.7	420.1
SCGS	$10^{-7, -5}$	$5 \cdot 10^{-8, -6}$	92	36	0.022 ± 0.011	1.6	0.07 ± 0.07	1527.2	271.8
SCGSA	10^{-6}	10^{-5}	84	31	0.029 ± 0.022	1.2	0.08 ± 0.08	1378.3	13.5
SCGSA	$10^{-7, -5}$	$10^{-6, -4}$	93	31	0.023 ± 0.010	1.5	0.08 ± 0.06	1341.0	12.5

Binární násobení – topologie 18-12-12-6

method	c_F	c_G	n_I	c	$MSE(noise_t)$	imp	sensitivity	epochs	time(s)
SCGS	10^{-6}	$5 \cdot 10^{-7}$	31	53	0.097 ± 0.060	3.1	0.14 ± 0.09	601.0	3620.7
SCGS	$10^{-7, -5}$	$5 \cdot 10^{-8, -6}$	35	56	0.098 ± 0.065	3.0	0.14 ± 0.13	601.0	3438.1
SCGSA	10^{-6}	$5 \cdot 10^{-5}$	27	42	0.079 ± 0.053	3.8	0.10 ± 0.06	600.8	13.3
SCGSA	$10^{-7, -5}$	$5 \cdot 10^{-6, -4}$	49	42	0.080 ± 0.052	3.7	0.11 ± 0.07	946.7	13.7

Světová banka – topologie 35-50-5

method	c_F	c_G	n_I	$MSE(noise_t)$	imp	sensitivity	epochs	time(s)
SCGS	10^{-6}	10^{-5}	88	0.050 ± 0.016	1.25	0.05 ± 0.02	968.4	1984.2
SCGS	$10^{-7, -5}$	$10^{-6, -4}$	59	0.054 ± 0.016	1.16	0.05 ± 0.02	987.0	1704.0
SCGSA	10^{-6}	$2 \cdot 10^{-4}$	97	0.055 ± 0.017	1.14	0.06 ± 0.02	945.4	59.0
SCGSA	$10^{-7, -5}$	$2 \cdot 10^{-5, -3}$	86	0.058 ± 0.016	1.09	0.07 ± 0.03	990.6	48.3